

В.В. НАНИЙ, канд. техн. наук,
А.Г. МИРОШНИЧЕНКО, канд. техн. наук,
В.Д. ЮХИМЧУК, канд. техн. наук,
А.А. ДУНЕВ

УГОЛ НАГРУЗКИ ДВИГАТЕЛЯ С КАТЯЩИМСЯ РОТОРОМ ВЕРТИКАЛЬНОГО ИСПОЛНЕНИЯ

Розглянуто питання визначення кута навантаження двигуна з ротором, що котиться, при фрикційному створенні обертального моменту. Надана залежність максимального його значення від сили тертя кочення при вертикальному виконанні.

Рассмотрен вопрос определения угла нагрузки двигателя с катящимся ротором и показана зависимость максимального его значения от силы трения качения при вертикальном исполнении машины.

Для синхронно-реактивного двигателя (СРД) фрикционного типа актуальным является вопрос синхронизма, т.е. обкатывания ротора по статору без проскальзывания. Как и в обычных синхронных машинах, решение этого вопроса зависит от определения максимального значения угла нагрузки Θ_{max} , которому соответствует максимальный момент на валу машины.

В ДКР фрикционного типа Θ_{max} во многом зависит от величины силы трения качения, возникающей по линии касания ротора со статором.

В работе рассматривается ДКР вертикального исполнения, что позволяет при расчетах не учитывать влияния силы тяжести ротора двигателя на формирование результирующей силы одностороннего магнитного притяжения ротора к статору. Такое допущение не снижает практического значения приведенных ниже исследований, т.к. ДКР вертикального исполнения могут применяться в 50% электроприводов устройств автоматики.

Рассмотрим систему сил, действующих в ДКР, на плоскости, считая ротор абсолютно жестким [1]. При этом линия касания ротора со статором, условно, вырождается, как показано на рисунке, в точку К.

При наличии на валу двигателя момента сопротивления (нагрузки) M_l , изображенного на рисунке в виде пары сил \bar{F}_l , приложенных к наружному диаметру ротора, точка К будет отставать от точки приложения вектора силы одностороннего магнитного притяжения \bar{Q} на угол Θ . Приложим к точке К две силы: \bar{Q}' и \bar{Q}'' - параллельные силы \bar{Q} и равные ей по модулю. При этом, сила \bar{Q} и сила \bar{Q}' образуют пару, которая стремится повернуть ротор вокруг его центра массы O_r . Момент этой пары сил будет выражен формулой:

$$M_r = \frac{1}{2} Q D_r \sin \Theta, \quad (1)$$

где D_r – диаметр ротора.

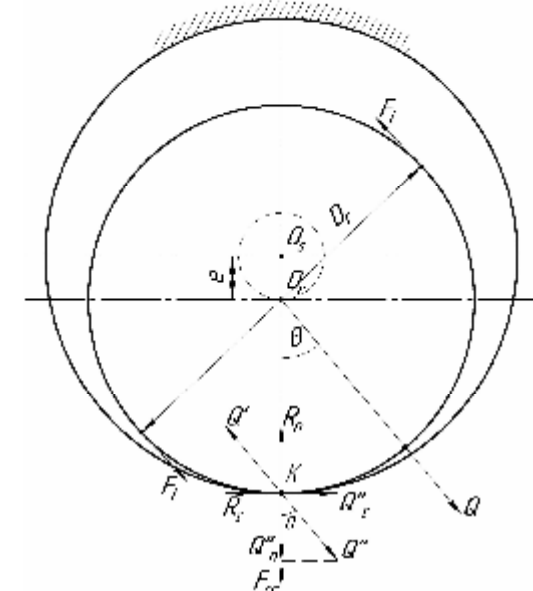


Рис. 1. Силы действующие в ДКР

Действующая на ротор в точке К сила \bar{Q}'' может быть разложена на нормальную и тангенциальную составляющие:

$$Q_n'' = Q'' \cos \Theta; \quad (2)$$

$$Q_\tau'' = Q'' \sin \Theta. \quad (3)$$

В точке К на ротор, нормально его поверхности, действует также центробежная сила:

$$F_{rc} = m_r e \omega_k^2, \quad (4)$$

где m_r – масса ротора; e – величина эксцентриситета; ω_k – угловая частота вращения точки К.

Силы \bar{Q}_n и \bar{F}_{rc} уравновешиваются силой реакции \bar{R}_n статора:

$$\bar{R}_n = \bar{Q}_n'' + \bar{F}_{rc}. \quad (5)$$

Помимо указанных сил, в ДКР фрикционного типа на ротор в точке К действует тангенциальная сила трения качения [2]:

$$R_{\tau} = 2K_f \frac{\left(Q'' + F_{rc}\right)}{D_r} = 2K_f \frac{\left(Q'' \cos \Theta + m_r e \omega_k^2\right)}{D_r}, \quad (6)$$

где K_f – коэффициент трения качения.

Так как вращающий момент передается на вал ротора фрикционно, то максимальное его значение M_r ограничивается некоторым максимальным значением угла нагрузки Θ_{max} , при котором ротор может еще обкатываться по статору практически без проскальзывания:

$$M_{rmax} = \frac{1}{2} Q D_r \sin \Theta_{max}. \quad (7)$$

Величину угла Θ_{max} можно определить из условия равенства сил:

$$Q''_{\tau max} = R_{\tau max}.$$

Используя уравнения (2), (3), (4), (6) и (7) получим выражение для определения максимального угла нагрузки Θ_{max} :

$$Q'' \sin \Theta_{max} = 2K_f \frac{\left(Q'' \cos \Theta_{max} + m_r e \omega_k^2\right)}{D_r}. \quad (8)$$

Представим отношение $2K_f / D_r$ в виде тангенса некоторого угла α и поставим в выражение (8). Преобразуем его в соответствии со стандартными тригонометрическими выражениями и получим формулу для максимального угла нагрузки двигателя с катящимся ротором:

$$\Theta_{max} = \arcsin 2K_f \frac{m_r e \omega_k^2}{Q \sqrt{D_r^2 + 4K_f^2}} + \arctg 2 \frac{K_f}{D_r}. \quad (9)$$

Для ДКР с вращающим моментом (50...100) Н·м максимальный угол нагрузки будет составлять $30^\circ...50^\circ$ при фрикционном характере передачи момента, тогда как в идеальном случае (зубчатое зацепление) он может достигнуть 90° .

Приведенные в данной работе выражения справедливы для ДКР с трехфазной нераспределенной обмоткой статора, соединенной по схеме «звезда» при непосредственном питании от сети трехфазного напряжения.

Список литературы: 1. Борзяк Ю.Г., Зайков М.А., Наний В.П. Электродвигатели с катящимся ротором. – Киев: Техника, 1982. – 119 с. 2. Литвин В.Ф. Проектирование механизмов и деталей приборов. – Л.: Машиностроение, 1973. – 696 с.

Поступило в редакцию 12.05.08

УДК 621.313

Н.А. ОСТАШЕВСКИЙ, канд. техн. наук,

В.А. ЧЕРЕВКО, аспирант

АНАЛИЗ СУЩЕСТВУЮЩИХ МЕТОДОВ РАСЧЕТА ТЕПЛОВЫХ ПРОЦЕССОВ АСИНХРОННОГО ЧАСТОТНО-РЕГУЛИРУЕМОГО ДВИГАТЕЛЯ

У даній статті розглянуто існуючі методи розрахунку теплових процесів в частотно-керованому асинхронному двигуні, обґрунтовано доцільність і ефективність застосування методу еквівалентних теплових розрахункових схем заміщення при оцінці теплового стану електричної машини.

В данной статье рассмотрены существующие методы расчета тепловых процессов в частотно-управляемом асинхронном двигателе, обоснована целесообразность и эффективность применения метода эквивалентных тепловых расчетных схем замещения при оценке теплового состояния электрической машины.

В ходе исторического процесса внедрения электрических машин во все производственные сферы, сложились определенные шаблонные модели применения того или иного вида машин в определенных ситуациях. Например, для регулирования скорости вращения механизмов чаще использовали двигатель постоянного тока. Преобразователь в данном случае регулировал только напряжение, был прост и дешев. Однако двигатели постоянного тока имеют сложную конструкцию, недоработанный в эксплуатации щеточный аппарат и сравнительно дороги.

Асинхронные двигатели, напротив, широко распространены, надежны, имеют относительно невысокую стоимость, хорошие эксплуатационные качества. В настоящее время, благодаря быстрому росту рынка преобразователей частоты для асинхронных двигателей, данные машины обладают всеми характеристиками, необходимыми для их широкого внедрения в промышленность.

Для минимизации расходов отечественных предприятий на обеспечение бесперебойной работы асинхронных частотно-регулируемых двигателей, необходимо уделять большое внимание факторам, определяющим уровень эксплуатационной надежности машин. Одним из таких факторов является тепловое состояние двигателя.

Достоверная информация о текущем тепловом состоянии электродвигателя позволяет обеспечить, в первую очередь, защиту электродвигателя от возможных аварийных режимов, связанных с температурными изменениями. На стадии разработки нового электродвигателя или во время модернизации (изменения) отдельных узлов необходима информация о том, как эти работы влияют на температурное состояние его обмоток.

При выборе асинхронного электродвигателя и проверке его по нагреву